

# 通过 quench 实现标量化带电 AdS 黑洞的去标量化

Descalarization by Quenching Charged Hairy Black Hole in asymptotically AdS spacetime

arXiv:2210.14539

中国科学院大学

2023 年 4 月 23 日

- ① 研究动机
- ② EMs 模型
- ③ RN-AdS 黑洞的不稳定性与 QNM
- ④ 非线性演化

# ① 研究动机

## ② EMs 模型

## ③ RN-AdS 黑洞的不稳定性与 QNM

## ④ 非线性演化

# 研究动机

- RN-AdS 黑洞对复标量扰动的两种不稳定性机制
  - near-horizon 不稳定性 [arXiv:1612.03172]
  - 超辐射不稳定性 [arXiv:1512.05358]
- 去标量化的机制
  - 双黑洞并合 [arXiv:2012.10436]
  - 黑洞吸积 [arXiv:2203.03672]
- 发现了一种新的去标量化的机制: quench

① 研究动机

② EMs 模型

③ RN-AdS 黑洞的不稳定性与 QNM

④ 非线性演化

# Einstein-Maxwell-scalar 模型

- 4 维 AdS 时空中的 Einstein-Maxwell-scalar 模型

$$\mathcal{L} = R - 2\Lambda - \frac{1}{4}F_{\mu\nu}F^{\mu\nu} - D_\mu\psi(D^\mu\psi)^* - m^2|\psi|^2$$

其中  $D_\mu = \nabla_\mu - iqA_\mu$

- 在边界附近标量场有两支渐近解

$$\psi \sim \psi_1 r^{-(3-\Delta)} + \psi_2 r^{-\Delta}, \quad r \rightarrow \infty$$

$$\Delta(\Delta - 3) = m^2 L^2$$

- $\psi_1$ : source,  $\psi_2$ : response
- BF-bound:  $-9/4 \leq m^2 L^2 \leq 0$

- ① 研究动机
- ② EMs 模型
- ③ RN-AdS 黑洞的不稳定性与 QNM
- ④ 非线性演化

# 对复标量扰动的不稳定性

- near-horizon 不稳定性 (极端情况下)

$$4q^2L^2 \geq \left[ m^2L^2 + \frac{3}{2} + \frac{1}{4}(r_+/L)^{-2} \right] \left[ \frac{6 + (r_+/L)^{-2}}{3 + (r_+/L)^{-2}} \right]$$

- 当  $r_+/L \rightarrow \infty$

$$4q^2L^2 \geq 2(m^2L^2 + \frac{3}{2}) + O((r_+/L)^{-2})$$

- 当  $r_+/L \rightarrow 0$

$$4q^2L^2 \geq \frac{1}{4}(r_+/L)^{-2} + O(1)$$

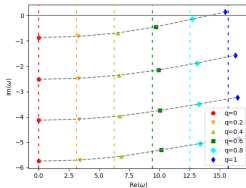
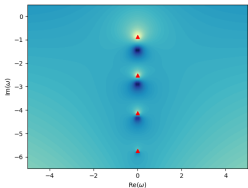
- 超辐射不稳定性

$$0 \leq \text{Re}(\omega) \leq \frac{qQ}{r_+}$$

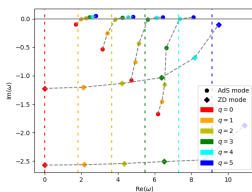
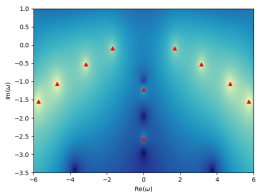


## QNM

大黑洞:



小黑洞:



- ① 研究动机
- ② EMs 模型
- ③ RN-AdS 黑洞的不稳定性与 QNM
- ④ 非线性演化

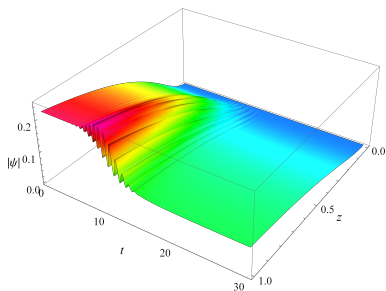
## Ward-Takahashi 恒等式

$$\begin{aligned}
2\kappa_4^2 S_{\text{ren}} &= \int_M dx^4 \sqrt{-g} \mathcal{L} + 2 \int_{\partial M} dx^3 \sqrt{-\gamma} K \\
&\quad - \int_{\partial M} dx^3 \sqrt{-\gamma} (4 + R[\gamma] + |\psi|^2) \\
\langle O \rangle &= \kappa_4^2 \lim_{r \rightarrow \infty} \frac{r^2}{\sqrt{\gamma}} \frac{\delta S_{\text{ren}}}{\delta \psi} = -\frac{1}{2} \lim_{r \rightarrow \infty} r^2 [\psi^* + n^\mu (D_\mu \psi)^*] \\
&\quad \Downarrow \\
\partial_t Q &= 2iq(\psi_1 \langle O \rangle - \psi_1^* \langle O \rangle^*) \\
\partial_t \langle T_{tt} \rangle &= -\langle O \rangle D_t \psi_1 - \langle O \rangle^* (D_t \psi_1)^*
\end{aligned}$$

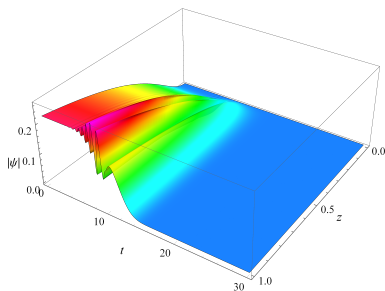
# 去标量化

quench:

$$\psi_1 = H \exp \left[ -\frac{(t-10)^2}{6} \right]$$

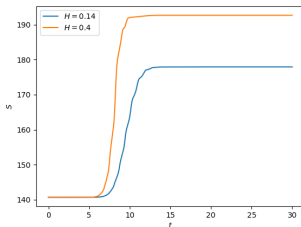
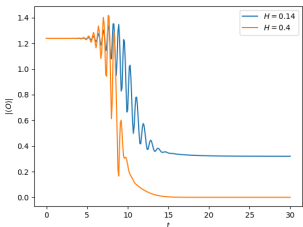
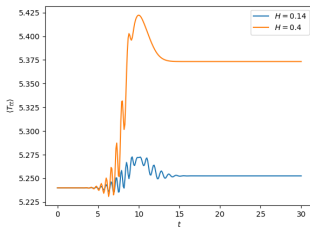
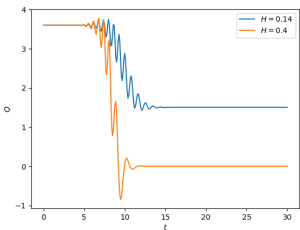


(a)  $H = 0.14$

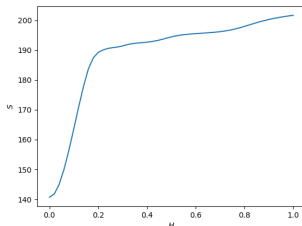
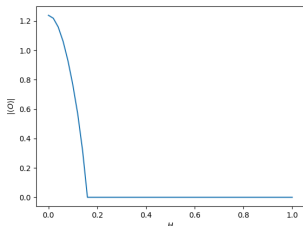
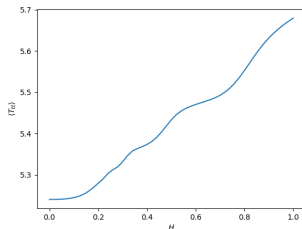
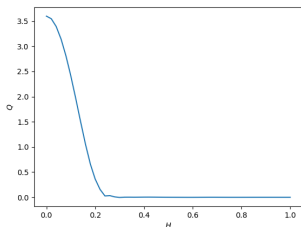


(b)  $H = 0.4$

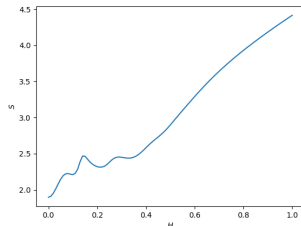
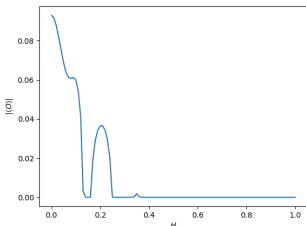
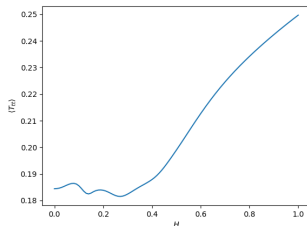
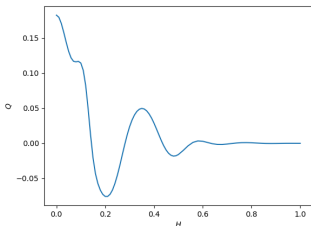
# 去标量化



# quench 强度的影响：大黑洞



# quench 强度的影响：小黑洞



# 谢谢！



[arXiv:1309.1439]

$$ds^2 = -2W(t, r)dt^2 + 2dtdr + \Sigma(t, r)^2 d\Omega_2^2$$

Einstein equations:

$$\begin{aligned} 0 &= \Sigma'' + \frac{1}{2}|\psi'|^2\Sigma, \\ 0 &= (\Sigma d_+\Sigma)' - \frac{1}{2}\left(3 - \frac{1}{4}A'^2 + |\psi|^2\right)\Sigma^2 - \frac{1}{2}, \\ 0 &= W'' + \frac{2(d_+\Sigma)'}{\Sigma} - 3 - \frac{1}{4}A'^2 - |\psi|^2 + \text{Re}[(d_+\psi - iqA\psi)(\psi')^*], \\ 0 &= d_+d_+\Sigma - W'd_+\Sigma + \frac{1}{2}|d_+\psi - iqA\psi|^2\Sigma, \end{aligned}$$

Maxwell equations:

$$\begin{aligned} 0 &= A'' + 2A'\frac{\Sigma'}{\Sigma} - 2q\text{Im}[\psi^*\psi'], \\ 0 &= d_+A' + 2A'\frac{d_+\Sigma}{\Sigma} + 2q\text{Im}[\psi^*(d_+\psi - iqA\psi)] \end{aligned}$$

Scalar equation:

$$0 = [\Sigma(d_+\psi - iqA\psi)]' + \psi'd_+\Sigma + \frac{1}{2}iqA'\Sigma\psi + \Sigma\psi,$$